

バーシャル PC はり部材の正負交番載荷下の塑性変形性能について

京都大学工学部 正員 小林 和夫 正員 井上 晋 ○ 学生員 勝野 由拡

1. はじめに 近年、バーシャル PC (以下 PPC) 構造は、建築構造物のみならず橋梁桁を中心とした土木構造物においてもその適用が増大しつつあるが、我が国のような地震国において、今後さらに積極的に適用していくためには、過大変形レベルでの耐荷・塑性変形特性を詳細に把握する必要がある。本研究は、PPC はりにおいてコンクリート強度、緊張率、横拘束筋ピッチ、横拘束筋降伏点を要因として単調漸増正負交番載荷試験 (A シリーズ) と漸増定変位正負交番繰返し試験 (B シリーズ) を実施し、耐荷・塑性変形特性を検討することにより、震設計上の基礎資料を得ることを目的としたものである。

2. 試験概要 はりの形状・寸法を図 1 に示す。コンクリート設計基準強度は 400,

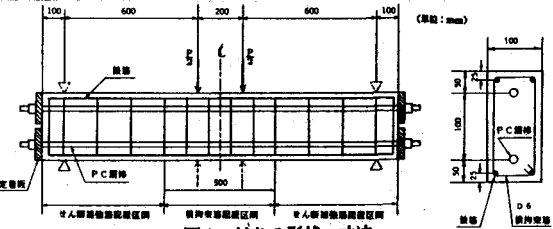


図 1 はりの形状・寸法

800 (kgf/cm^2) の 2 種類を選定し、両者

で鋼材指數 q がほぼ同一となるよう設計した。また、緊張率 λ ($= A_p f_p p_y$) ($A_p f_p p_y + A_s f_s s_y$) は 0.4, 0.7 の 2 レベルとし、横拘束筋ピッチ s は $s = d$ (d : 有効高さ、横拘束筋比 $\rho_s = 0.7\%$), $d/2$ ($\rho_s = 1.4\%$), $d/4$ ($\rho_s = 2.8\%$) の 3 種類、横拘束筋降伏点 $f_y h$ は $f_y h = 3200$, 14400 (kgf/cm^2) の 2 レ

ベルを設定した。なお、せん断補強筋の所要間隔は土木学会コンクリート標準示方書 (昭和 61 年制定) の規定により算定した。供試体の種類・試験結果を表 1, 2 に示す。

載荷方法は図 2 に示すように、A シリーズはスパン中央たわみが降伏たわみ δ_y ($= 5 \text{ mm}$) の整数倍となる変位振幅のとで各 1 回の単調漸増型の正負交番載荷、B シリーズは δ_y の整数倍となる漸増変位レベルで各 10 回の正負交番繰返し載荷を行った。

3. 試験結果および考察 1) 履歴ループ

供試体名 ¹⁾	フック部材 截面 (kgf/cm^2)	A	横拘束筋 ピッチ (cm)	横拘束筋 比 (%)	q ²⁾	最大荷 力 F_u (kgf/cm^2)	最大荷 力 F_u (kgf/cm^2)		じん性率 μ ⁴⁾
							正方向	負方向	
AN4-d-d-L	400	0.433	4 (1.7)	0.673	0.280	50	10.28	9.81	7.94
AN4-d-H			6 (2.3)	0.600	0.287	48	10.05	9.52	7.75
AN4-d/2-L			d/2 (8.5)	1.346	0.280	49	10.10	9.55	7.31
AN4-d/2-H			d/2 (8.5)	1.201	0.287	50	9.83	9.10	6.20
AN4-d/4-L			d/4 (4.3)	2.080	0.280	50	10.22	10.48	>7.80
AN4-d/4-H		0.704	d/4 (4.3)	2.374	0.287	49	10.41	10.07	8.58
AN7-d-L			d/2 (8.5)	0.702	0.280	50	9.27	8.80	4.88
AN7-d/2-L			d/2 (8.5)	1.346	0.280	51	9.14	8.75	6.04
AN7-d/2-H			d/2 (8.5)	1.201	0.280	50	8.44	8.48	6.08
AN7-d/4-L			d/4 (4.3)	2.780	0.280	50	10.25	10.48	>7.77
AN4-d/4-L	800	0.869	d (15.4)	0.677	0.280	55	15.94	14.83	4.78
AN4-d-H			d (15.4)	0.604	0.280	55	10.25	14.80	6.00
AN4-d/2-L			d/2 (8.5)	1.346	0.280	55	10.12	14.85	8.57
AN4-d/2-H			d/2 (8.5)	1.201	0.280	55	10.25	15.07	8.22
AN4-d/4-L			d/4 (4.3)	2.783	0.280	57	16.31	15.87	>6.58
AN4-d/4-H			d/4 (4.3)	2.431	0.280	55	10.45	15.74	>6.10
AN7-d-L			d (15.4)	0.677	0.280	55	15.94	14.83	4.78
AN7-d-H			d (15.4)	0.604	0.280	55	10.25	14.80	6.00
AN7-d/2-L			d/2 (8.5)	1.346	0.280	55	10.12	14.85	8.57
AN7-d/2-H			d/2 (8.5)	1.201	0.280	55	10.25	15.07	8.22
AN7-d/4-L		0.503	d/4 (4.3)	2.783	0.280	57	15.47	14.57	>4.44
AN7-d/4-H			d/4 (4.3)	2.431	0.280	54	16.16	14.80	>4.72

表 2 B シリーズ はりの種類・試験結果

供試体名 ¹⁾	フック部材 截面 (kgf/cm^2)	A	横拘束筋 ピッチ (cm)	横拘束筋 比 (%)	q ²⁾	最大荷 力 F_u (kgf/cm^2)	最大荷 力 F_u (kgf/cm^2)		じん性率 μ ⁴⁾
							正方向	負方向	
BN4-d-L	400	0.433	4 (1.7)	0.673	0.274	50	10.13	9.53	2.64
BN4-d/2-L			d/2 (8.5)	1.346	0.274	48	9.99	8.48	3.28
BN4-d/2-H			d/2 (8.5)	1.201	0.288	48	10.15	9.21	3.64
BN4-d/4-L			d/4 (4.3)	2.680	0.274	48	9.78	9.27	6.00
BN4-d/4-H			d/4 (4.3)	2.374	0.274	48	10.19	8.54	>4.92
BN4-d-L		0.503	d (15.4)	0.677	0.274	55	18.43	14.94	1.97
BN4-d-H			d (15.4)	0.604	0.274	55	16.19	15.08	2.86
BN4-d/2-L			d/2 (8.5)	1.346	0.274	55	16.30	14.71	2.70
BN4-d/2-H			d/2 (8.5)	1.201	0.274	55	16.11	14.37	2.76
BN4-d/4-L			d/4 (4.3)	2.783	0.274	57	15.47	14.57	>4.44
BN4-d/4-H			d/4 (4.3)	2.431	0.274	54	16.16	14.80	>4.72

1) 1 本の最初標記の符号がしは實測荷重範囲 ($f_u = 3200 \text{ kgf/cm}^2$)、以降は荷重範囲 ($f_u = 14400 \text{ kgf/cm}^2$) を有する。
2) μ : 一つの内側筋筋で剪まれるコンクリートの強度。
3) 2 本の横筋 ($A_s + A_f$) と 1 本の横筋 ($A_s + A_f + A_b$) の強度。
4) μ が付いているものは、測定可能な範囲で求めた値を有り、実際にはそれ以上の値を有するものである。

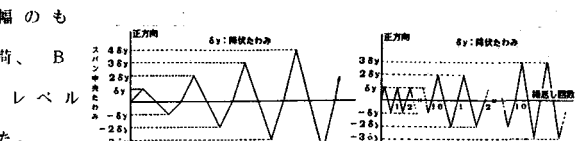


図 2 載荷方法

形状：図3、4にA、B両シリーズの荷重-たわみ($P-\delta$)履歴ループの例を示す。この図より $\lambda = 0.4$ の場合はRCに近いエネルギー消費能の大きい紡錘型のループ形状を示し、 $\lambda = 0.7$ の場合は高復元型のP-Cに近い性状を示すことがうかがえ、 λ によりエネルギー消費能が大きく変化することがわかる。また、コンクリート強度、緊張率、横拘束筋ピッチが大きくなるほど、最大耐力以降の耐力低下が著しく脆性的な変形特性を示すことがうかがえる。 λ が0.4程度の場合には $s = d$ あるいは $d/2$ でもじん性はかなり改善されるが、 λ が0.7程度になると $s = d/4$ でないと横拘束筋の顕著な効果が期待できない。

2)じん性率： $P-\delta$ 包絡線で最大耐力の90%の荷重レベルに対応する荷重上昇域と下降域のたわみの比で定義した各ほりのじん性率 μ を表1,2に示す。これより μ 値は λ が増大すると低下すること、またBシリーズのような繰返し載荷によって μ 値は低下し、コンクリート強度が高い場合にはその低下が顕著となること、などが認められる。しかし横拘束筋を適切に配置することによってその低下がかなり改善されることがわかる。

3)横拘束筋ひずみ：図5はAシリーズほりの横拘束筋ひずみの最大値 ϵ_{\max} と ρ_s/f_c' (f_c' ：コンクリート強度)との関係を示したものである。ただし、同図には表1中のPPCほりのデータに加えて、別途に試験を行った他のPPCほり ($\lambda = 0.4, 0.7$)に対するデータも併記してある。これより、 $f_yh = 3200(\text{kgf}/\text{cm}^2)$ の普通強度横拘束筋はほとんどが降伏しているのに対し、 $f_yh = 14400(\text{kgf}/\text{cm}^2)$ の高強度横拘束筋では降伏しているものがほとんどないことがわかる。図5を各横拘束筋の応力-ひずみ関係に基づいて応力 f_h に換算して表したもののが図6である。高強度横拘束筋の場合には ρ_s/f_c' が増加するにつれて f_h が大きくなる傾向がみられ、最小2乗法で直線近似したところ、 $f_h = (\rho_s/f_c') \times 10^3 + 2500$ の関係式が得られた。これより、横拘束筋比が大となるほどその強度が有效地に利用されることが示唆される。

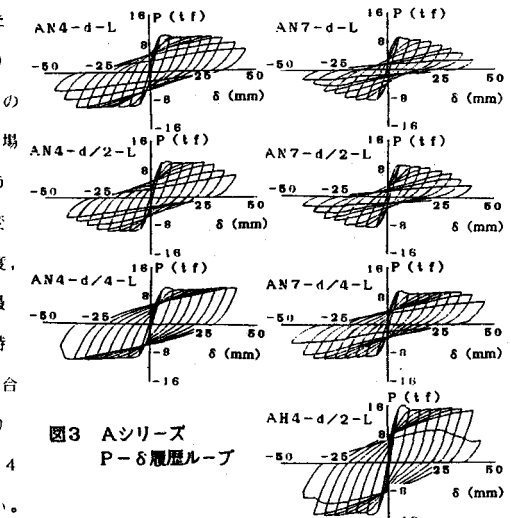


図3 Aシリーズ
 $P-\delta$ 履歴ループ

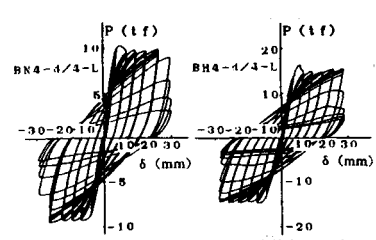


図4 Bシリーズ $P-\delta$ 履歴ループ

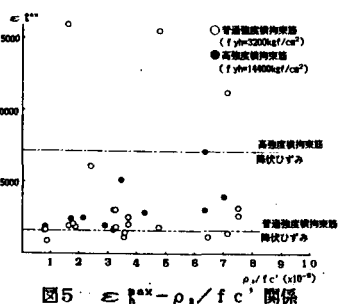


図5 $\epsilon_{\max} - \rho_s/f_c'$ 関係

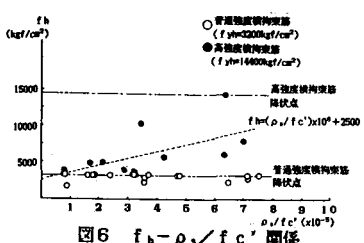


図6 $f_h - \rho_s/f_c'$ 関係